

پترولوزی و ژئوشیمی سنگ‌های پریدوتیتی و گابرو‌بی افیولیت تهلاک، جنوب شرق آتشفسان تفتان

حبيب بیابانگرد^{۱*}، محمد بومری^۲ و پریدخت ریگی^۳

۱، ۲ و ۳- گروه زمین‌شناسی، دانشکده علوم، دانشگاه سیستان و بلوچستان، زاهدان

نویسنده مسئول : * h.biabangard@science.usb.ac.ir

نوع مقاله: پژوهشی

پذیرش: ۹۹/۲/۳۱ دریافت: ۹۸/۱۲/۱۶

چکیده

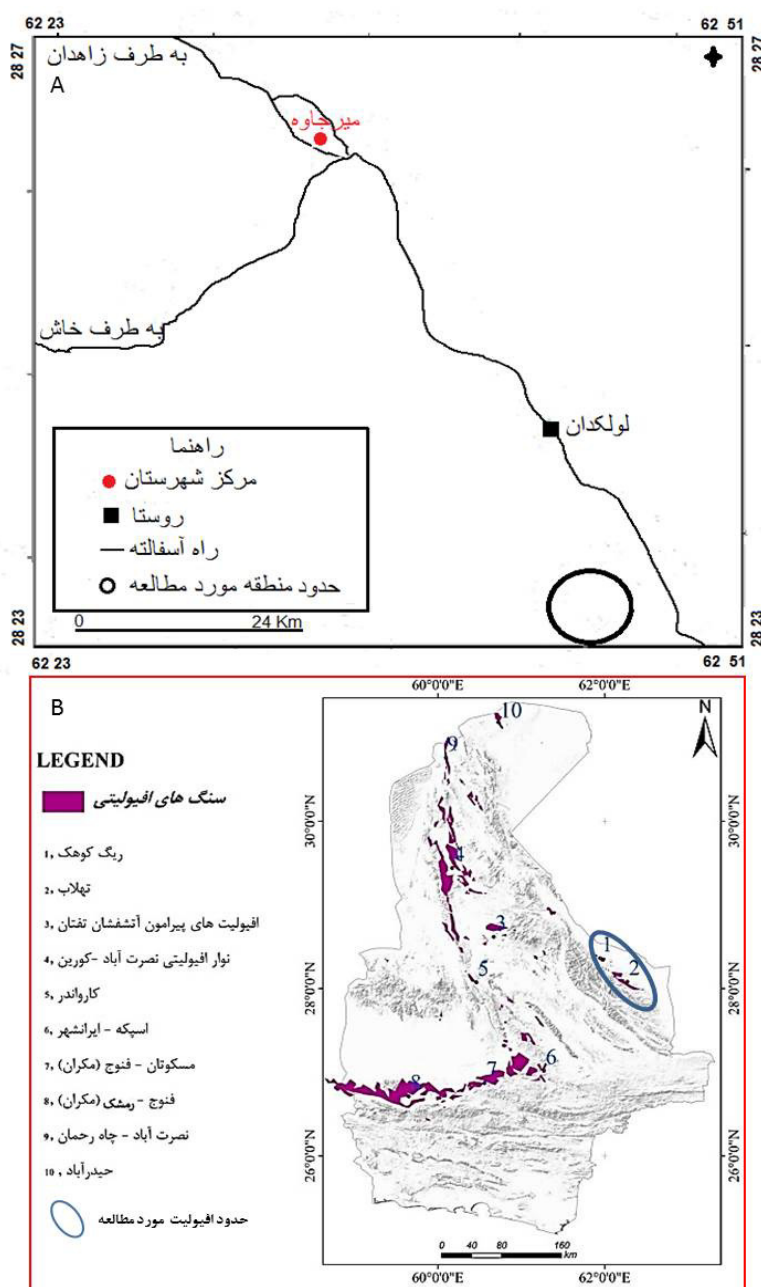
افیولیت تهلاک در جنوب شرق آتشفسان تفتان در زون زمین‌درز سیستان واقع می‌شود. این افیولیت (کرتاسه فوقانی) در داخل مجموعه‌های فلیشی (ائوسن) برونزد دارد. هارزبورزیت‌ها و گابروها به عنوان هدف اصلی این مطالعه، بیشترین برونزد افیولیت اخیر را تشکیل می‌دهند. سنگ‌های اولترامافیک از کانی‌های الیوین و پیروکسن و سنگ‌های گابرو‌بی از کانی‌های پیروکسن، پلازیوکلاز و الیوین ساخته شده‌اند. سربانتنین و کلریت کانی‌های ثانویه تشکیل‌دهنده این سنگ‌ها هستند. بافت‌های غالب آن‌ها گرانولار، شبکه‌ای، افیتیک و ساب افیتیک می‌باشند. شبکه‌ای نمودارهای عنکبوتی عناصر نادر خاکی کم و نسبتاً صاف است که نشانگر تهی شدگی از *HREE* و غنی شدگی اندک از *LREE* در سنگ‌های اولترامافیکی و مافیکی از عناصر نادر خاکی نسبت به گوشه‌های غنی شده می‌باشد و غالباً روندی مشابه با مورب غنی شده دارند. نمودارهای عناصر انتقالی *La/Ce*, *Ni*, *Cr*, *Co*, *V* نسبت به نشان می‌دهند با افزایش عنصر میزان *Co*, *Ni* کاهش یافته که نشان‌دهنده تفریق اولیوین می‌باشد. عدد منیزیومی بالای نمونه‌ها (86.02-42.91) نشان می‌دهد که ماقمایی سازنده این سنگ‌ها از ذوب بخشی گوشه حاصل شده‌اند. همچنین نسبت _N(*La/Sm*) در نمونه‌ها در ۱.37 تا ۰.34 می‌باشد که نشان از منشأ گوشه‌ای آن‌ها دارد. نمودارهای تکتونوماگمایی حاکی از تعلق این افیولیت به محیط‌های کششی حوضه‌های درون اقیانوسی است. بنابراین به نظر می‌رسد تشکیل این افیولیت مرتبط با فرورانش پوسته اقیانوسی نتوتیس در کرتاسه بین بلوک‌های لوت و افغان باشد.

واژه‌های کلیدی: افیولیت تهلاک، تولیتی، فرورانش، زمین‌درز سیستان، تفتان

انجام شده در گذشته، بر روی افیولیت‌های استان، مطالعات (سبک روح، ۱۳۹۴؛ رئیسی اردلی، ۱۳۹۴؛ قلعه نوعی، ۱۳۹۰؛ گودرزی، ۱۳۹۴؛ عطایی، ۱۳۹۴) می‌باشد. در این مطالعات اغلب این محققین بر این باورند که افیولیت‌های استان از نوع هارزبورزیتی و خیلی کم لزولیتی و با منشا گوشه‌ای هستند. افیولیت‌های واقع در پایانه جنوبی زمین‌درز سیستان شواهد تشکیل در محیط‌های سوپراسابداکشن را نشان می‌دهند در حالی که افیولیت‌های ناحیه مکران بیشتر وابسته به محیط‌های مورب هستند. افیولیت‌های نصرت‌آباد نیز بیشتر ماهیت مورب و کمتر تمايل به محیط‌های سوپراسابداکشن نشان می‌دهند. این مطالعه جزو اولین مطالعات بر روی این افیولیت است که در آن سعی شده تا با بهره‌گیری از داده‌های صحرایی و ژئوشیمیایی منشأ و محیط تکتونوماگمایی آن مشخص شود.

۱- پیش‌گفتار

افیولیت تهلاک در جنوب شرق آتشفسان تفتان، و در ۱۸۲ کیلومتری جنوب شرق شهرستان زاهدان و در حاشیه‌ی مرزی ایران و پاکستان قرار می‌گیرد. از دیدگاه تقسیمات زمین‌شناسی ایران در زون فلیش شرق ایران (زیر پهنه زمین‌درز سیستان) قرار دارد. آسان‌ترین راه دسترسی به افیولیت تهلاک، جاده آسفالت زاهدان- میرجاوه- لولکدان است که پس از طی ۷۵ کیلومتر از زاهدان به شهرستان میرجاوه و سپس با طی ۸۴ کیلومتر به پاسگاه چاه نادو می‌رسیم که با طی ۲۳ کیلومتر جاده خاکی، به محدوده مورد مطالعه می‌توان دسترسی پیدا کرد (شکل ۱-۱A). پراکندگی افیولیت‌ها در استان و موقعیت افیولیت تهلاک در شکل ۱- B نشان داده شده است. بر روی افیولیت تهلاک مطالعه چندانی صورت نگرفته است. تنها در نقشه زمین‌شناسی ۱:۲۵۰۰۰ نر نو (آدینگا و همکاران، ۱۹۷۸) به آن اشاره شده است. برخی از پژوهش‌های



شکل ۱. A) نمایی از افیولیت تهلاک (دید به سمت جنوب غرب)، (B) پراکندگی و موقعیت افیولیت‌ها بر اساس موقعیت جغرافیایی در استان سیستان و بلوچستان

نمونه‌های برداشت شده، تعداد ۱۲ نمونه با کمترین میزان دگرسانی انتخاب شدند و به شرکت (MS Analytical) کانادا، ارسال شد. در آنجا عناصر اصلی به روش XRF و عناصر فرعی و کمیاب به روش ICP-MS مورد تجزیه شیمیایی قرار گرفتند (جدول ۱). سپس داده‌های به دست آمده با نرم‌افزارهای CorelDraw و GCDKIT Excel Minpet پردازش شدند.

۲- روش بررسی

طی عملیات صحرایی در چندین نوبت از تمام واحدهای افیولیتی و سنگ‌های میزبان به طور هدفمند تعداد ۲۰۰ نمونه برداشت شد. سپس مقاطع نازک از آن‌ها تهیه و توسط میکروسکوپ پلاریزان المپیوس در دو حالت نور قطبیده مسطح (PPL) و مقاطع (XPL) مورد مطالعه قرار گرفتند. پس از بررسی‌های دقیق سنگنگاری از

جدول ۱. تجزیه نمونه‌های سنگی افیولیت تهلاک، عناصر اصلی با استفاده از روش *XRF* و عناصر فرعی با استفاده از روش *ICP-MS*. علائم اختصاری نام سنگ‌ها عبارتند از: *Gb*=گابرو، *Ub*=ولترامافیک

Sample	Ub	Ub	Ub	Ub	Gb	Gb	Ub	Gb	Gb	Ub	Gb	Ub
<i>SiO₂</i>	43.47	46.68	41.97	40.93	47.35	50.26	40.75	41.71	50.41	44.3	49	44.86
<i>Al₂O₃</i>	2.64	14.26	2.74	1.84	14.18	16.62	0.66	1.73	15.47	3.34	16	2.63
<i>CaO</i>	2.64	10.78	2.31	1.84	10.99	11.92	0.92	1.67	8.83	3.23	12	2.96
<i>Fe₂O₃</i>	8.38	9.72	8.31	8.33	9.68	10.26	8.16	8.14	11.58	8.52	10	8.64
<i>K₂O</i>	0.01	0.46	0.01	0.01	0.45	0.14	0.01	0.01	0.23	0.01	0.1	0.01
<i>MgO</i>	41.18	11.51	41.46	42.32	11.23	7.75	42.05	40.45	6.34	37.95	7.9	38.31
<i>MnO</i>	0.13	0.17	0.13	0.13	0.17	0.17	0.12	0.12	0.13	0.13	0.2	0.13
<i>Na₂O</i>	0.14	2.19	0.05	0.05	2.19	3.01	0.04	0.05	2.76	0.27	2.6	0.05
<i>P₂O₅</i>	0.01	0.11	0.01	0.01	0.1	0.09	0.01	0.01	0.14	0.01	0	0.01
<i>TiO₂</i>	0.07	0.62	0.07	0.03	0.6	1.42	0.01	0.03	1.68	0.11	1.2	0.05
<i>Cr₂O₃</i>	0.42	0.1	0.36	0.39	0.09	0.04	0.37	0.35	0.01	0.35	0	0.37
<i>LOI</i>	2.7	4.09	4.17	5.41	4.06	0.26	8.89	7.42	2.38	3.07	0	3.56
<i>Total</i>	101.8	100.7	101.6	101.3	101.1	101.95	102	101.7	99.97	101.3	99	101.6
<i>Ba</i>	1	74	1	0.5	79.2	15.9	0.8	1.9	44.2	0.5	11	0.5
<i>Cs</i>	0.01	0.34	0.01	0.01	0.33	0.02	0.01	0.01	0.62	0.01	0	0.03
<i>Co</i>	95.7	39.5	92.6	97.7	38.7	39.3	94.8	95.9	38.2	96.5	43	92.6
<i>Cr</i>	2973	733	2425	2727	807	328	2427	2345	139	2408	339	2572
<i>Gd</i>	0.23	2.14	0.16	0.08	2.31	3.83	0.05	0.07	4.01	0.27	2.5	0.16
<i>Rb</i>	0.2	11.7	0.2	0.2	12.4	0.8	0.3	0.2	4.1	0.2	0.4	0.4
<i>Sr</i>	1.3	283.4	7.1	2.5	298.2	184.7	1.1	0.9	157.6	1.9	175	2.3
<i>Th</i>	0.05	0.28	0.05	0.05	0.38	0.05	1.43	0.52	0.71	0.05	0.1	0.05
<i>Zr</i>	2	21	2	2	25	51	4	2	87	2	29	2
<i>Rb</i>	0.2	11.7	0.2	0.2	12.4	0.8	0.3	0.2	4.1	0.2	0.4	0.4
<i>Ts</i>	0.03	0.04	0.04	0.04	0.02	0.04	0.04	0.04	0.13	0.04	0.1	0.03
<i>Tc</i>	0.11	0.02	0.08	0.13	0.02	0.01	0.11	0.1	0.02	0.08	0	0.08
<i>Ni</i>	2009	110.3	1945	2059	112.6	89.3	2116	2032	44.7	1832	100	1858
<i>V</i>	77	247	78	66	272	296	47	60	333	84	278	100
<i>Hf</i>	0.2	0.9	0.2	0.2	1.1	2	0.2	0.2	2.7	0.2	1.1	0.2
<i>Ga</i>	2.6	12.3	2.8	2	12.9	16	1.2	1.9	18.1	3.1	15	3.1
<i>Ta</i>	0.1	0.1	0.1	0.1	0.1	0.1	0.1	0.1	0.1	0.1	0.1	0.1
<i>Th</i>	0.05	0.28	0.05	0.05	0.38	0.05	1.43	0.52	0.71	0.05	0.1	0.05
<i>Nb</i>	0.1	1.2	0.1	0.1	1.2	1.6	0.1	0.1	2.6	0.1	0.7	0.1
<i>Y</i>	2.1	15.6	2.2	1	16.5	27.5	0.5	1	31.3	2.8	19	2
<i>Sn</i>	5	5	5	5	5	5	5	5	5	5	5	5
<i>W</i>	1	1	1	1	1	1	2	2	2	1	1	1
<i>Sc</i>	11.9	36.8	12	10.6	36.8	37.3	8.3	10.2	36.1	14.8	37	14.8
<i>Tm</i>	0.04	0.26	0.03	0.03	0.28	0.41	0.01	0.02	0.49	0.05	0.3	0.04
<i>U</i>	0.05	0.18	0.05	0.05	0.22	0.05	0.05	0.05	0.13	0.05	0.1	0.05
<i>La</i>	0.2	3.9	0.1	0.1	4.3	3	0.1	0.2	4.4	0.1	1.3	0.1
<i>Ce</i>	0.2	9.8	0.2	0.1	10.3	9.8	0.1	0.1	12.5	0.2	4.2	0.1
<i>Pr</i>	0.04	1.44	0.04	0.03	1.48	1.6	0.03	0.03	2	0.06	0.8	0.03
<i>Nd</i>	0.2	7	0.3	0.1	7.2	8.9	0.1	0.1	10.7	0.4	4.9	0.1
<i>Sm</i>	0.12	2.04	0.1	0.03	2.02	3.04	0.03	0.03	3.45	0.2	2	0.07
<i>Eu</i>	0.04	0.72	0.06	0.03	0.71	1.12	0.03	0.03	1.25	0.08	0.9	0.03
<i>Tb</i>	0.06	0.43	0.05	0.03	0.45	0.78	0.01	0.03	0.86	0.08	0.6	0.05
<i>Dy</i>	0.32	2.77	0.35	0.16	2.94	4.92	0.05	0.17	5.52	0.45	3.5	0.33
<i>Ho</i>	0.07	0.59	0.08	0.03	0.64	1.04	0.01	0.04	1.18	0.11	0.8	0.07
<i>Er</i>	0.23	1.73	0.2	0.14	1.79	2.91	0.03	0.11	3.38	0.31	2.1	0.22
<i>Yb</i>	0.28	1.76	0.25	0.14	1.76	2.77	0.03	0.13	3.26	0.38	1.9	0.27
<i>Lu</i>	0.04	0.24	0.04	0.02	0.27	0.41	0.01	0.01	0.48	0.05	0.3	0.04
<i>Mg#</i>	85.73	60.04	85.9	86.02	59.51	51.34	86.13	85.76	42.91	84.51	52.08	84.28

موجود در منطقه بر اساس این نقشه‌ها از قدیم به جدید

به شرح زیر است.

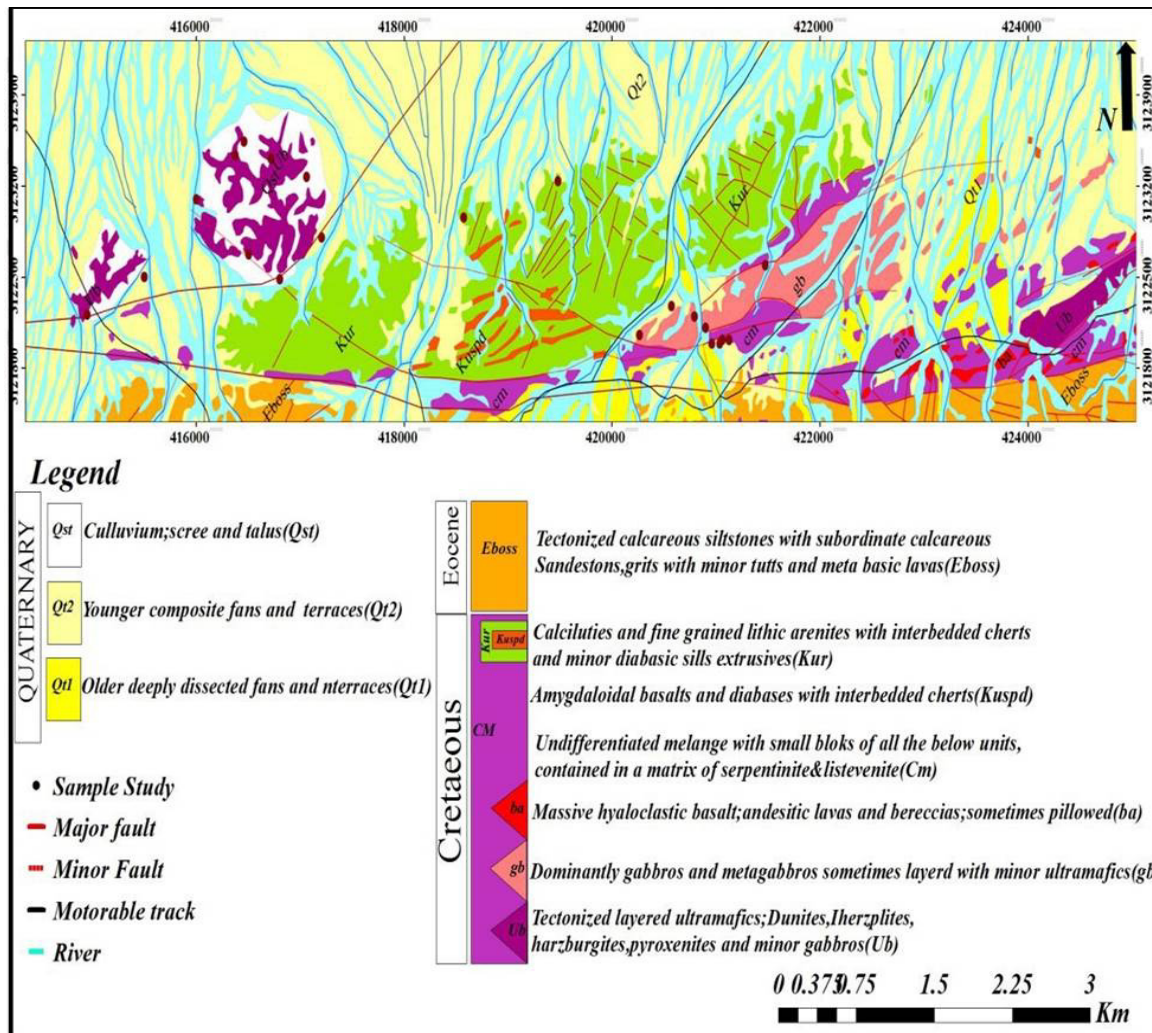
واحدهای کرتاسه شامل مجموعه‌های آذرین هارزبورژیتی و گابرویی وابسته به مجموعه‌های افیولیتی است. مجموعه‌های رسوی اونسن شامل ماسه‌سنگ، شیل

جاگاه زمین‌شناسی و روابط صحرایی

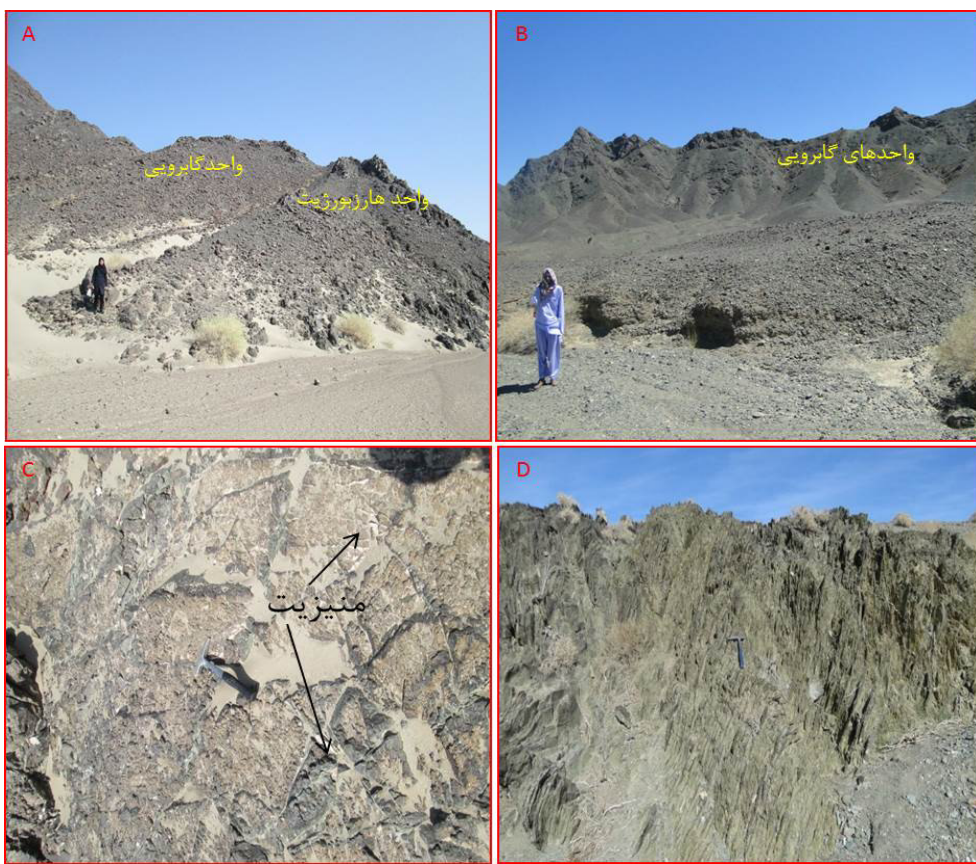
نقشه زمین‌شناسی از منطقه مورد مطالعه براساس مطالعات صحرایی، تصاویر ماهواره‌ای و نقشه ۱:۱۰۰۰۰۰ موجود از منطقه در محیط *GIS* برای افیولیت تهلاک باز ترسیم گردیده است (شکل ۲). مهم‌ترین واحدهای

منطقه مورد مطالعه سالم‌تر هستند و به حالت خرد شده دیده می‌شوند. مجموعه گابرویی به صورت عدسی در مجموعه‌ی فلیشی دیده می‌شوند. سنگ‌های گابرویی در منطقه شامل میکرو گابرو، الیوین گابرو و هورنبلند گابرو هستند. از ویژگی بارز افیولیت تهلاک حضور فراوان رگچه‌های منیزیت در آن می‌باشد (شکل ۳ - C). فلیش‌ها از گسترش فراوانی در منطقه برخوردارند و بخش زیادی از منطقه را پوشش می‌دهند. این واحدها غالباً به رنگ سبز و خاکستری، عمدتاً از شیل، ماسه‌سنگ و سیلتستون با لایه‌بندی نازک هستند. واحدهای فلیشی در اغلب موارد با مجموعه‌های اولترامافیک در هم آمیخته شده‌اند (شکل ۳ - D).

فلیشی و رسوبات سیلیسی کلاستیک وابسته به فلیش‌ها می‌باشند. در افیولیت تهلاک تنها واحدهای هارزبورزیتی و گابرویی به خوبی دیده می‌شود و سایر واحدهای افیولیتی در این منطقه حضور ندارند. هارزبورزیت‌ها خرد شده، شکسته و درز و شکاف فراوان دارند، در برخی نقاط سطوح برآق و در قسمت‌های شکسته شده، رنگ خاکستری تیره (سرپی) دارند. این واحد حجم زیادی داشته و تفکیک آن‌ها از سایر واحدهای منطقه دشوار است (شکل ۳ - A). سنگ‌های گابرویی منطقه، رنگ قهوه‌ای، خاکستری روشن تا تیره و سبز زیتونی دارند و دانه‌بندی آن‌ها ریز تا متوسط است و دچار هوازدگی شده‌اند (شکل ۳ - B). گابروهای بخش‌های فوقانی در



شکل ۲. نقشه ساده شده زمین‌شناسی از افیولیت تهلاک باز ترسیم شده از نقشه زمین‌شناسی ۱/۱۰۰۰۰۰ (ادینگا و همکاران، ۱۹۷۸).



شکل ۳. (A) واحدهای هارزبورژیتی و گابرویی افیولیت تهلاک، (B) واحدهای رنگ و ستیغ مانند گابرویی، (C) حضور رگچه‌های منیزیت در واحد گابرویی، (D) واحدهای فلیشی.

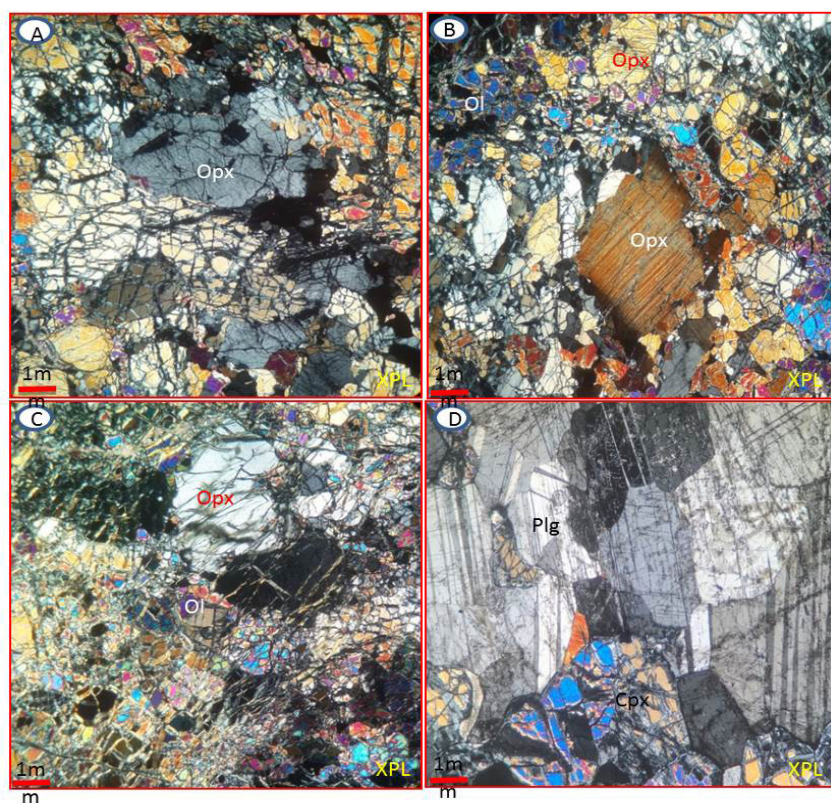
(شکل ۴-C). کانی‌های ثانویه کلریت، اکتینولیت و اکسید آهن می‌باشند. گابروها دارای کانی‌های پیروکسن و پلازیوکلاز و بافت دانه‌ای هستند در برخی سنگ‌ها می‌توان بافت‌های افتیک تا ساب‌افتیک را نیز مشاهده کرد. کلینوپیروکسن ($40\text{--}55\text{ wt\%}$) معمولاً نیمه شکل دار تا بی‌شكل در این سنگ‌ها است (شکل ۴-D). پلازیوکلاز بیش از 50 wt\% درصد حجمی و اغلب به صورت درشت و تیغه‌های شکل دار است.

ژئوشیمی

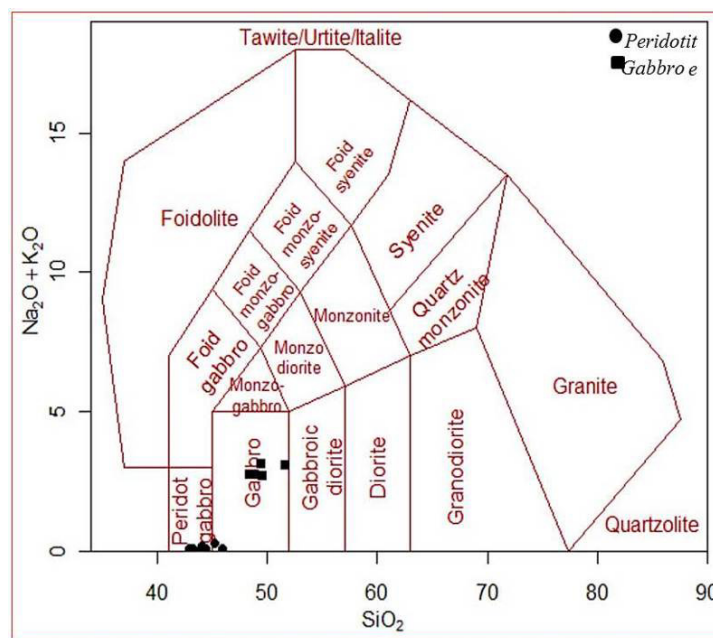
برای بررسی ویژگی‌های ژئوشیمیابی و سنگ‌شناختی افیولیت تهلاک از داده‌های عناصر اصلی، فرعی و کمیاب استفاده شده است. میزان اکسید سیلیسیم سنگ‌ها بین $40.75\text{--}50.41\text{ wt\%}$ درصد در نوسان است (جدول ۱). در نمودار طبقه‌بندی زمین‌شیمیابی (لویاس و همکاران، ۱۹۸۶؛ میدل موست، ۱۹۹۴) نمونه‌ها در محدوده پیکروگابرو تا گابرو قرار می‌گیرند (شکل ۵).

سنگ‌شناسی

ترکیب سنگ‌شناسی واحدهای سازنده افیولیت تهلاک هارزبورژیت، لرزولیت، گابرو و پیروکسینیت می‌باشد. کانی‌های اصلی تشکیل‌دهنده این سنگ‌ها آلیوین، ارتوبیروکسن، کلینوپیروکسن و پلازیوکلاز است. هارزبورژیت‌ها در مقاطع میکروسکوپی دارای کانی‌های آلیوین، ارتوبیروکسن و کمی کلینوپیروکسن هستند و عموماً دارای بافت دانه‌ای‌اند (شکل ۴-A). آلیوین ($30\text{--}40\text{ wt\%}$)، ارتوبیروکسن ($30\text{--}45\text{ wt\%}$) و کلینوپیروکسن ($10\text{--}8\text{ wt\%}$) کانی‌های سازنده این سنگ‌ها هستند. ارتوبیروکسن از نوع بروونزیت و معمولاً شکل دار است (شکل ۴-B). کانی‌های فرعی و ثانویه موجود در هارزبورژیت‌ها اسپینل، سرپانتین، کوارتز و کلسیت است. لرزولیت‌ها دارای کانی‌های کلینوپیروکسن ($40\text{--}35\text{ wt\%}$)، آلیوین ($55\text{--}60\text{ wt\%}$)، ارتوبیروکسن ($10\text{--}15\text{ wt\%}$) و دارای بافت دانه‌ای می‌باشند. آلیوین به صورت توپی شکل و دارای شکستگی فراوان است.



شکل ۴. گزیده‌ای از تصاویر میکروسکوپی سنگ‌های سازنده افیولیت تهاب، (A) هارزبورزیت با بافت گرانولار و حضور کانی‌های ارتوپیروکسن و الیوین در آن، (B) درشت بلورهای ارتوپیروکسن در هارزبورزیت، (C) الیوین‌های دگرسان شده به سرپانتین و کلینوپیروکسن در لرزولیت، (D) درشت بلورهای پیروکسن و پلازبیولاز در گابروها (تمام تصاویر در نور قطبیده متقطع با بزرگنمایی ۴۰ برابر گرفته شده است و علائم بکار رفته برای کانی‌ها از (ویتنی و اونس، ۲۰۱۰) .



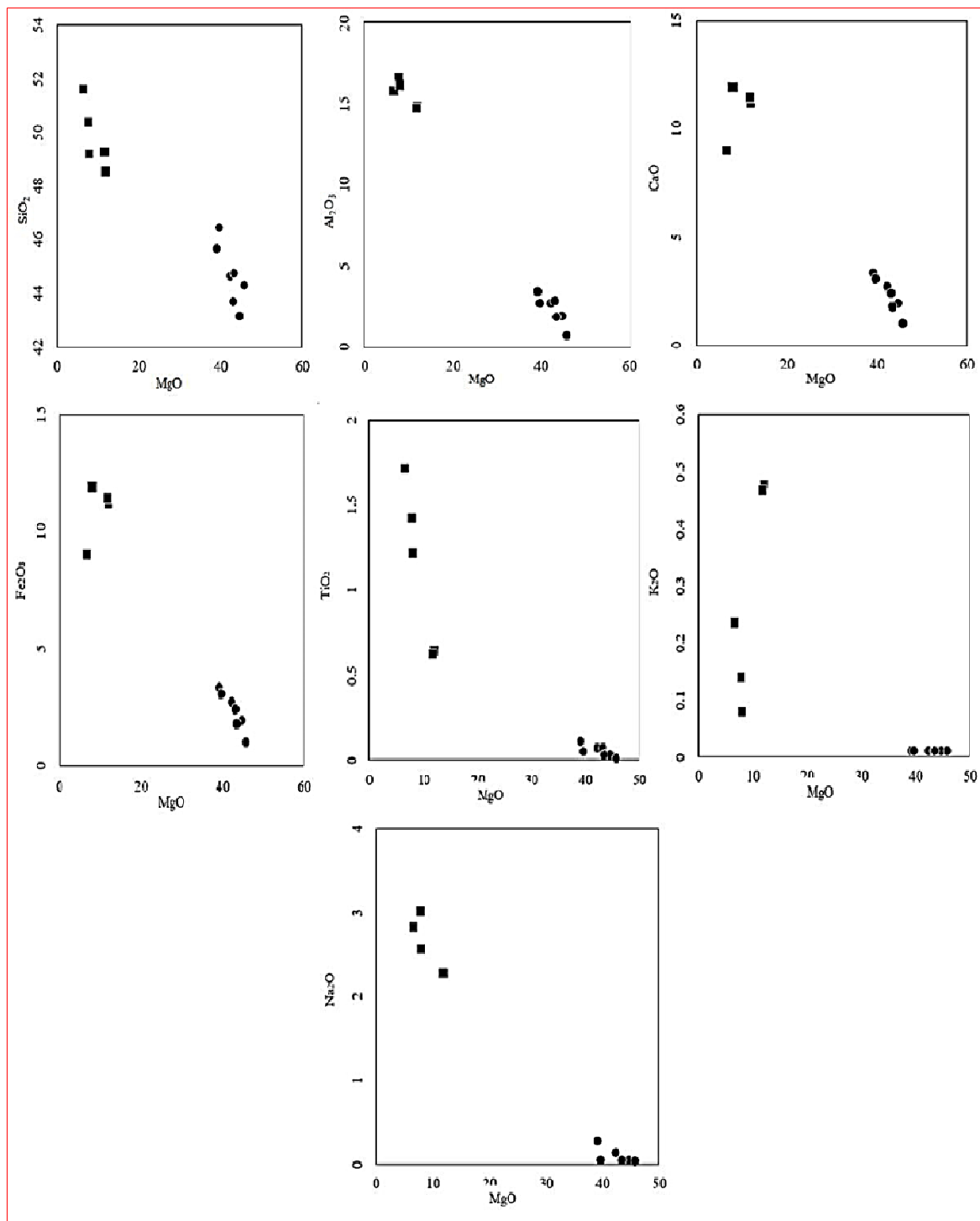
شکل ۵. نمودار TAS (اکسیدهای قلیایی در برابر سیلیس) نمودار پایه از (میدل موست، ۱۹۹۴) و پلاٹ نمونه‌های منطقه مورد مطالعه بر روی آن نمونه‌ها در محدوده گابرو و پیکر و گابرو قرار می‌گیرند. در تمام نمودارها عالیم مورد استفاده برای گابروها به صورت مریع و اولترامافیک‌ها به صورت دایره می‌باشند.

به منظور مقایسه عناصر نادر خاکی سنگ‌های منطقه مورد مطالعه با *E-MORB* و *N-MORB* داده‌ها نسبت به مورب غنی شده و تهی شده و کندریت *C1* (سان و مک دوناق، ۱۹۸۹) به هنجار و بررسی شده‌اند (شکل‌های ۷ و ۸). عناصر نادر خاکی دارای شیب بسیار ناچیز هستند. غلظت عناصر نادر خاکی سبک طی تبلور تفریقی و عناصر نادر سنگین با ذوب بخشی کنترل می‌شوند (ویلسون، ۱۹۸۶). بالا بودن درجه ذوب بخشی، امکان ذوب کانی گارنت که دارای ضریب جدایش بالایی از عناصر نادر سنگین است، فراهم و در نتیجه فراوانی این عناصر را در مagma ایجاد می‌کند. این امر باعث می‌گردد که اختلاف فراوانی بین عناصر نادر سبک و سنگین کمتر شود. چنین وضعیتی در الگوی این عناصر (شکل ۷) نشان از بالا بودن درجه ذوب بخشی در ناحیه منشا این سنگ‌ها است. آنومالی چندانی در عنصر *Eu* تفاوت نمی‌شود. به طور کلی شیب نمودار *REE*‌ها تفاوت چندانی با مورب نداشته و روندی مشابه با *E-MORB* دارند. کانی‌های متداول گوشه‌های *الیوین*، پلاژیوکلاز، کلینوپیروکسن، اورتوپیروکسن، گارنت و اسپینل هستند بر همین اساس فازی که بتواند عناصر *LREE* را نسبت به *HREE* متمرکز کند، وجود ندارد. بنابراین یکنواختی *LREE* و *HREE*‌ها حاصل درجه ذوب بخشی بالای ناحیه منشا می‌باشد که به احتمال کانی گارنت در ذوب شرکت داشته است. روند موازی و ثابت عناصر *REE* نشان دهنده‌ی ویژگی ماغمای اولیه می‌باشد (ویلسون، ۱۹۸۶) در مقایسه الگوی عناصر کمیاب (شکل ۸) نسبت به *NMORB* غنی‌شده‌ی اندکی در عناصر *LREE* نسبت به *HREE* میده می‌شود، که می‌توان آن را به نقش ذوب بخشی نسبت داد تا تفرقی *HREE*‌ها در نمونه‌های اولترامافیکی و گابروها، الگوی مسطح و مشابهی را با *E-MORB* دارند که دلیل بر نقش حضور گارنت در فرایند ذوب بخشی یک منبع گارنت‌دار اشاره دارد (مارتین، ۱۹۹۳). پس می‌توان بیان نمود که در منشاء گارنت وجود داشته است به این دلیل که *HREE*‌ها در این کانی متمرکز می‌گردند و در صورتی که گارنت وارد مذاب نشود این عناصر نیز وارد مذاب نخواهد شد و سبب تهی‌شده‌ی *HREE*‌ها در مذاب تشکیل شده می‌گردد. حال اینکه در سنگ‌های مورد مطالعه اینگونه نیست و گارنت در مذاب شرکت نموده است. در

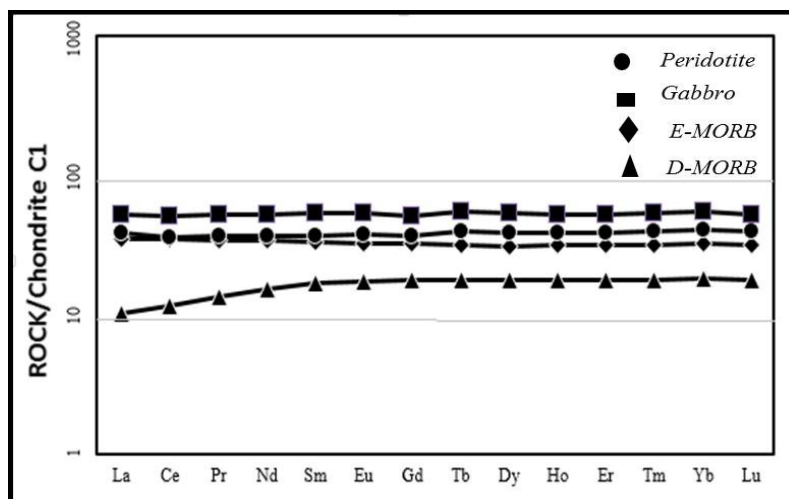
در نمودارهای تغییرات عناصر (شکل ۶) در هر نمونه در مقایسه با مقدار منیزیم، اکسید منیزیم به عنوان یک شاخص در میزان تهی‌شده‌ی استفاده می‌شود و هر افزایش در مقدار منیزیم نشان می‌دهد که این سنگ بیشتر تهی شده است (یوسل و همکاران، ۲۰۱۲). منیزیم، یک عنصر سازگار است یعنی ترجیحاً در کانی‌های *الیوین*، ارتوپیروکسن، کلینوپیروکسن متتمرکز می‌شود نه در مایاتی که با این کانی‌ها در حال تعادل می‌باشند. در عوض *Al* عنصری هست که تمایل به تمرکز بیشتر در مذاب‌های *ماگمایی* دارد زیرا مقادیر آن از لرزولیت و هارزبورزیت‌ها به گابروها کاسته می‌شود. بنابراین می‌توان به این نتیجه رسید که در مقایسه با اولترامافیک‌ها، گابروها فقیر از عناصر سازگار بوده و نشانه‌ای از جدایش مایات *ماگمایی* می‌باشد. میزان اکسید سدیم در اولترامافیک‌ها منطقه پایین است. علت تهی‌شده‌ی اکسید سدیم را می‌توان به آلتراسیون کف اقیانوس نسبت داد (اسنو و دیک، ۱۹۹۵؛ نیو، ۲۰۰۴؛ پائولیک و همکاران، ۲۰۰۶). در نمودار تغییرات *Al₂O₃* در مقابل *MgO* با افزایش *MgO* مقدار *CaO* کاهش می‌یابد (شکل ۶). با افزایش مقدار *MgO* مقدار *Fe₂O₃* و *MgO* کاهش می‌یابد. کلسیم از جمله عناصر ناسازگار است که در حین ذوب بخشی وارد فاز مذاب می‌شود در نتیجه در طول فرایند ذوب بخشی کلسیم وارد فازهای *ماگمایی* می‌شود (شکل ۶) (ویلسون، ۱۹۸۶). همبستگی قابل توجهی بین *Fe₂O₃* و *MgO* است با افزایش مقدار *MgO* مقدار *Fe₂O₃* کاهش می‌یابد. فراوانی این عنصر در بعضی از نمونه‌ها را می‌توان به مقدار بالای مگنتیت و پیروکسن در سنگ‌های منطقه مورد مطالعه دانست (شکل ۶). مقدار اکسید *TiO₂* با افزایش *MgO* کاهش می‌یابد زیرا این عنصر با ذوب بخشی داخل فازهای مایع می‌شود، وارد ساختمان کانی‌ها نمی‌شود مقدار بالای اکسید در بعضی از نمونه‌ها نشان دهنده مقدار بالای پیروکسن در آنها است زیرا تیتانیم به صورت جانشینی وارد ساختمان کانی‌های آهن‌دار می‌شود (ویلسون، ۱۹۸۶) (شکل ۶). مقدار اکسیدهای *K₂O* و *Na₂O* با افزایش مقدار *MgO* کاهش می‌یابد زیرا این عناصر در ذوب بخشی تمایل دارند وارد فازهای مایع شوند (شکل ۶). در منطقه مورد مطالعه دو گروه سنگی وجود دارد که شامل اولترامافیک (هارزبورزیت و لرزولیت) و مافیک (گابروها) می‌باشند.

پس نسبت فراوانی عناصر کمیاب‌شان باید مشابه منشاء آن‌ها باشد (ولیسون، ۱۹۸۶). با مشاهده (شکل ۹) در می‌یابیم که تمام عناصر نسبت به $N\text{-MORB}$ غنی شده‌تر و مشابهت بسیار نزدیک با $E\text{-MORB}$ دارند.

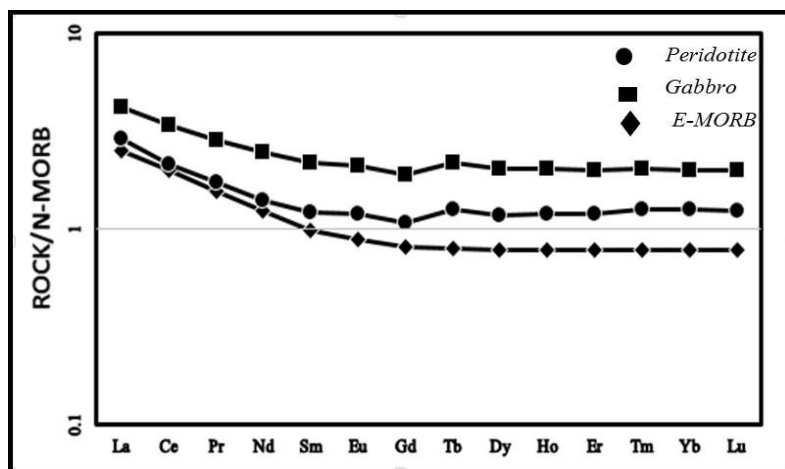
نمودارهای عنکبوتی چند عنصری، عناصر بر اساس کاهش ناسازگاری از چپ به راست روی محور افقی مرتب شده‌اند (شکل ۹). با فرض اینکه مورب‌ها به وسیله درجات نسبتاً بالایی از ذوب بخشی به وجود آمده باشند،



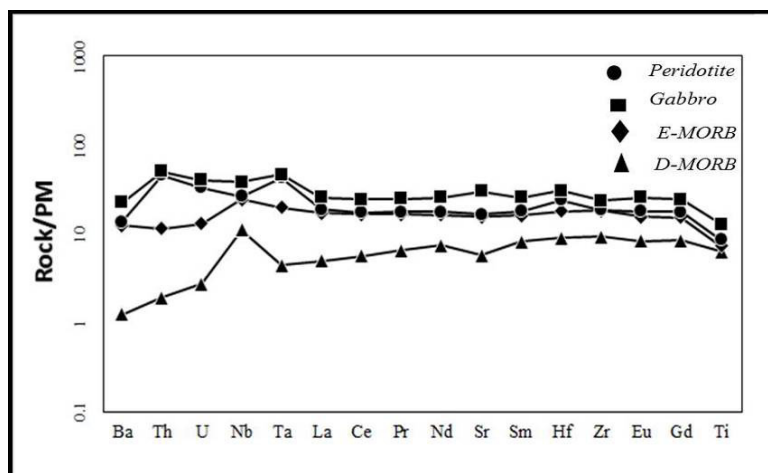
شکل ۶. نمودارهای تغییرات شیمیایی نوع هارکر، تغییرات اکسیدهای اصلی در مقابل MgO (بر حسب درصد وزنی) ترسیم شده است.



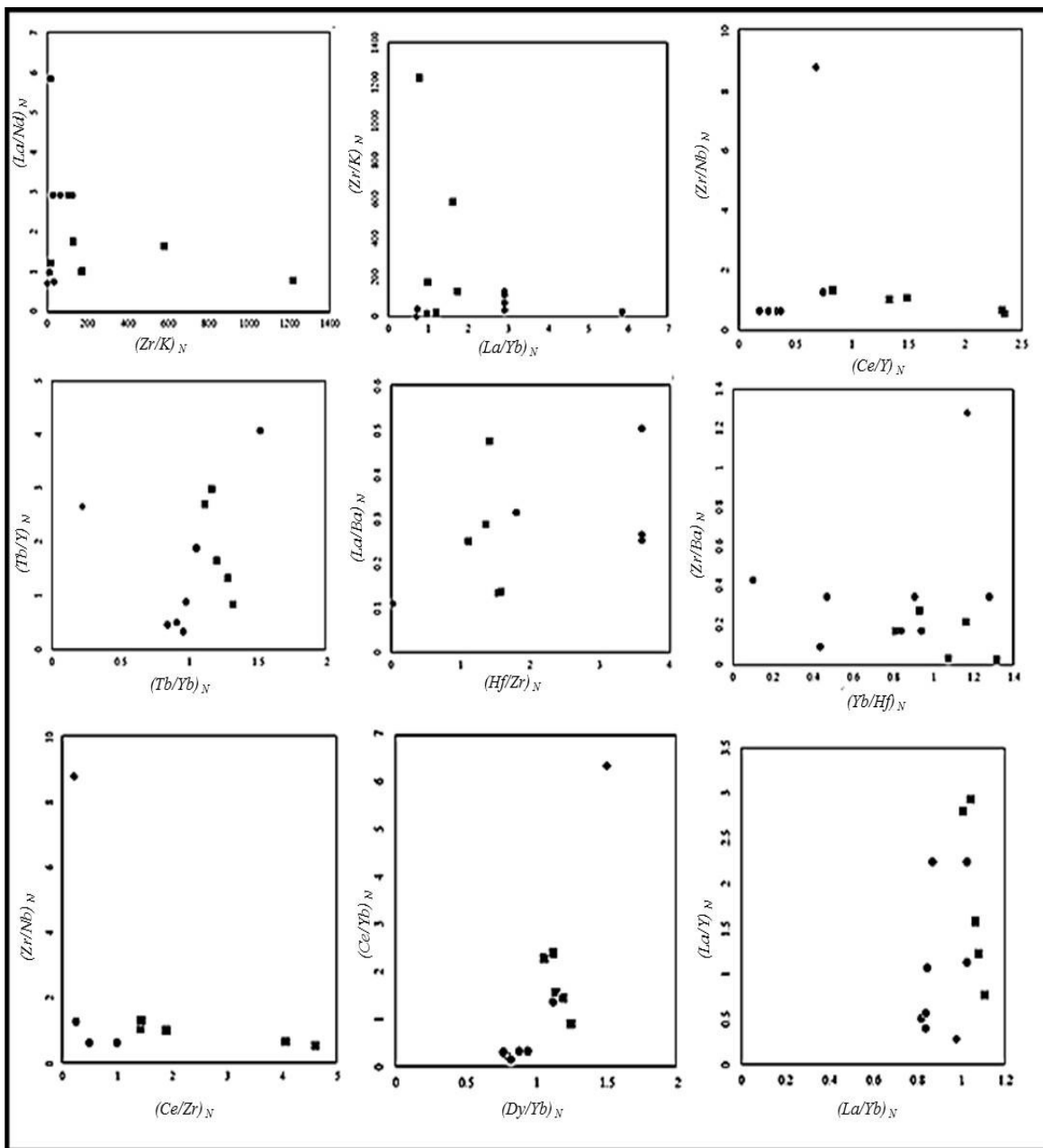
شکل ۷. الگوی عناصر کمیاب نمونه‌های اولترامافیک و گابروهای منطقه، مورب غنی شده و تهی شده، بهنجار شده نسبت به کندربیت $C1$ (سان و مک دوناق، ۱۹۸۹).



شکل ۸. الگوی عناصر کمیاب نمونه‌های اولترامافیک و گابروها منطقه و گابرو غنی شده، نسبت به $NMORB$ (سان و مک دوناق، ۱۹۸۹).



شکل ۹. نمودار چند عنصری بهنجار شده نمونه‌های اولترامافیکی و گابروهای منطقه، مورب غنی شده و تهی شده، بهنجار شده نسبت به گوشته اولیه (سان و مک دوناق، ۱۹۸۹).



شکل ۱۰. نمودارهای تفکیک شیمیایی جهت مقایسه نسبت‌های عنصری نمونه‌های منطقه با مورب تهی شده و غنی شده.

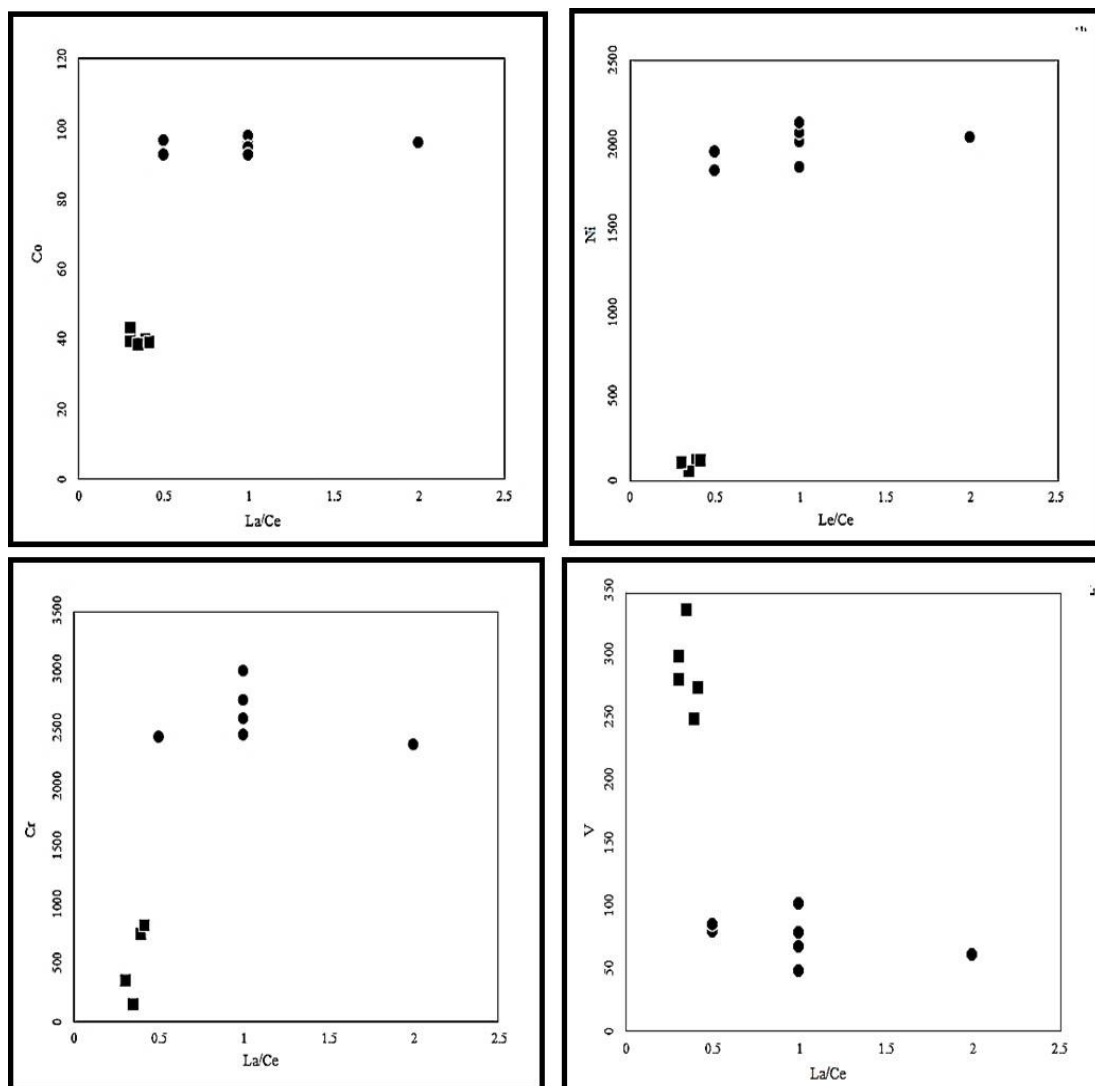
این گواه بر تشکیل سنگ‌های منطقه از یک مagma اولیه منشا گرفته از گوشته می‌باشد. همچنان در ترکیب magma اولیه در حدود ۳۰۰ پی‌پی ام عنصر نیکل وجود دارد و magma با چنین ویژگی‌هایی می‌تواند مذاب‌های تشکیل یافته در بخش اولیه (مراحل اولیه تفریق) گوشته باشد (وینتر، ۲۰۱۰). در سنگ‌های مورد مطالعه مقدار نیکل بیشتر از ۳۰۰ پی‌پی ام است (جدول ۱)، این نشانگر اولیه بودن magma سازنده این سنگ‌ها است. نسبت N (La/Sm) تابع بین منشا گوشته‌ای و پوسته‌ای

بحث

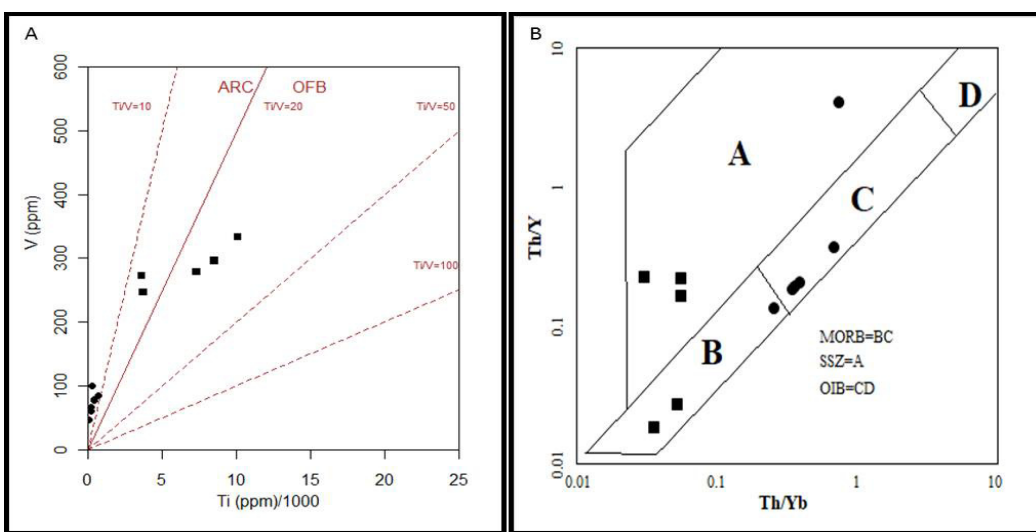
نسبت La/Ce شاخص مهمی در سنگ‌های اولترامافیک و مافیک می‌باشد و می‌تواند نشان‌دهنده ترکیب منشأ magma باشد (هافمن، ۱۹۸۸؛ هافمن، ۲۰۰۳؛ فیتون و همکاران، ۲۰۰۳؛ باراگان و همکاران، ۱۹۹۸). تغییرات پایین La و Ce نشان‌دهنده ناحیه منشأ هستند (ویلسون، ۱۹۸۶). تغییرات عناصر انتقالی V, Co, Cr, Ni در (شکل ۱۱) مقابل La/Ce نشان داده شده‌اند، نسبت La/Ce در نمونه‌های تهلاک در تمام این نمودارها کمتر از یک است،

(شراویس، ۱۹۸۲) استفاده شد. در این نمودار نمونه‌ها در محدوده‌های مورب تا سوپراسابداکشن (SSZ) قرار می‌گیرند (شکل ۱۲ الف). این وضعیت به خوبی در نمودار (پیرس، ۱۹۸۱) مشهود است که نمونه‌های اولترامافیک در درون صفحه و نمونه‌های گابرویی در زون‌های سوپراسابداکشن قرار می‌گیرند (شکل ۱۲ ب). بنابراین به نظر می‌رسد تشکیل سنگ‌های مورد مطالعه مرتبط با تشکیل پوسته اقیانوسی نئوتیس و فرورانش آن بین بلوک‌های لوت و افغان (اماگلیپور و همکاران، ۱۳۹۹؛ ساکانی و همکاران، ۲۰۱۰؛ تیرون و همکاران، ۱۹۸۳؛ دلاری، ۲۰۱۳) باشد که احتیاج به مطالعات تکمیلی دارد.

را نشان می‌دهد (ویلسون، ۱۹۸۶). مقدار این نسبت در گوشته در حدود یک (سان و مک دوناق، ۱۹۸۹) و در پوسته بیشتر از $4/25$ می‌باشد (سریواستاوا و اسنیف، ۲۰۰۴). مقدار نسبت La/SmN در نمونه‌های افیولیت تهلاک در حدود $0/34$ تا $1/37$ است. نسبت‌های عنصر کم مقدار مانند Ce/Pb , Zr/Hf برای توصیف ویژگی‌های منبع گوشته‌ای در سنگ‌های وابسته به پشت‌های میان اقیانوسی استفاده می‌شود (وینتر، ۲۰۱۰). مقایسه نسبت‌های عنصری نمونه‌های مورد مطالعه با مورب تهی شده و غنی شده قربت نزدیکی با مورب غنی شده را نشان می‌دهند (شکل ۱۱). به منظور تشخیص جایگاه زمین‌ساختی و خاستگاه احتمالی تشکیل ماقمای سازنده $Ti/100$ در مقابل سنگ‌های منطقه، از نمودار V در مقابل



شکل ۱۱. نمودار تغییرات نسبت‌های عنصر انتقالی.



شکل ۱۲. (A) نمودار V در مقابل $Ti/100$ (شاویس، ۱۹۸۲)، (B) موقعیت سنگ‌های منطقه مورد مطالعه بر روی نمودار Th/Y در مقابل Th/Yb (مارتین، ۱۹۹۳).

تشکر و قدردانی

نویسندها بر خود لازم می‌دانند از سردبیر و داوران محترم نشریه یافته‌های نوین زمین‌شناسی کاربردی که به غنای بیش‌تر مقاله کمک نمودند، سپاسگزاری نماید.

منابع

- امامعلی‌پور، ع.، نظری، ح.، اسماعیل‌زاده، م (۱۳۹۹) مروری بر ژئوشیمی و محیط تکتونیکی تشکیل پهنه‌های افیولیتی ایران، نشریه یافته‌های نوین زمین‌شناسی کاربردی، دوره ۱۴، شماره ۲۷، ص ۱۵۸-۱۷۱.
- رئیسی اردلی، ف (۱۳۹۴) ترکیب شیمیایی سنگ‌های اولترامافیک و مافیک افیولیتی در منطقه چاه بربیش، شرق ایران. پایان‌نامه کارشناسی ارشد، ۱۰۵ ص.
- سبکرخو، م (۱۳۹۴) ترکیب شیمیایی سنگ‌های مافیک و اولترامافیک از مجموعه افیولیتی غرب فنوج، شمال مکران ایران. پایان‌نامه کارشناسی ارشد، ۹۷ ص.
- عطایی، س (۱۳۹۴) ترکیب شیمیایی سنگ‌های اولترامافیک و مافیک افیولیت در منطقه چشمہ رضایی-نصرت‌آباد، شرق ایران. پایان‌نامه کارشناسی ارشد، ۱۰۱ ص.
- قلعه‌نوعی، ر (۱۳۹۰) ژئوشیمی و منشأ کرومیت‌های پودیفرم از شمال‌غرب تا جنوب‌غرب زاهدان، جنوب‌شرق ایران. ۲۵۹ ص.
- گودرزی، ر (۱۳۹۴) ژئوشیمی پریدوتیتها و سنگ‌های مافیک منطقه دومک، شرق ایران. پایان‌نامه کارشناسی ارشد، ۹۰ ص.
- Barragan, R., Geist, D., Hall, M., Larson, P. and Kurz, M (1998) Subduction controls on the composition of lavas from the Ecuadorian

نتیجه‌گیری

افیولیت تهلاک واقع در جنوب‌شرق آتشفشان تفتان از سنگ‌های اولترامافیک به ویژه هارزبورژیت و گابرو تشکیل شده و با مجموعه‌های فلیشی افسن در هم آمیخته شده است. این سنگ‌ها دارای بافت‌های غالب گرانولار، واریولیتیک و افتیک تا ساب‌افتیک می‌باشند. کانی‌های غالب آن‌ها آلویون، ارتوبیروکسن، کلینوپیروکسن و پلازیوکلاز است. بررسی تغییرات شیمیایی عنصر اصلی نشان از تبلور تفریقی کانی آلویون و پیروکسن و عدم تفریق پلازیوکلاز در آن‌ها می‌باشد. نمودارهای عناصر خاکی به هنجار شده نسبت به کندریت و مورب سنگ‌های مافیک و اولترامافیک نشان می‌دهد که آن‌ها نسبت به $N\text{-MORB}$ غنی شده‌تر و مشابهت بسیار نزدیک با $E\text{-MORB}$ دارند. نمودارهای تفکیک شیمیایی، Zr, Nb, Y, Ta, U , Ti در مقابل Zr/Nb نشان می‌دهد که آن‌ها از یک ماگمای اولیه منشا گرفته از گوشته حاصل شده‌اند. مقدار نسبت La/Sm_N در نمونه‌های افیولیت تهلاک و نسبت‌های عناصر کم مقدار و تغییرات $Ce/Pb, Zr/Hf$ قرابت نزدیک نمونه‌ها را با مورب غنی شده نشان می‌دهد. ویژگی‌های ژئوشیمیایی و سنگ‌شناسی هارزبورژیت‌ها و گابروهای افیولیت تهلاک نشان می‌دهد که ماگمای سازنده آن‌ها دارای ماهیت تولیتی است.

- Shervais, J. W (1982) *Ti-V plots and the petrogenesis of modern and ophiolite lavas.* Earth and Planetary Science Letters, 57: 101-108.
- Snow, J. E., and Dick H. J. B (1995) *Pervasive magnesium loss by marine weathering of peridotite.* Geo Cosmo Acta 59, 20:4219-4235.
- Srivastava, RK. and Singh, RK (2004) *Trace element geochemistry and genesis of Precambrian subalkaline mafic dikes from the Indian craton: Evidence for mantle metasomatism.* Journal of Asian Earth Sciences, 23: 373-389.
- Sun, SS. and McDonough, WF (1989) *Chemical and isotope systematics of oceanic basalts: implication for mantle composition processes.* In: Saunders AD, Norry MJ (Eds.), *Magmatism in the ocean basins: Geological Society Special Publication,* 313-345.
- Tirrul, R., Bell, I. R., Griffis, R. J. and Camp, V. E (1983) *The Sistan suture zone of eastern Iran.* Geological Society of America Bulletin, 94: 134-150.
- Uysal, I. E., Yalcin, E., Karsli, O., Delik, Y., Burhan, Sadiklar, M., Ottley, C.J., Tiepolo, M., and Meisel, T (2012) *Coexistence of abyssal and ultra-depleted SSZ type mantle peridotites in a Neo-Tethyan Ophiolite in SW Turkey: Constraints from mineral composition, whole-rock geochemistry (major-trace-REE-PGS) and Re-Os isotope systematic.* Lithos, 132-133: 50-69.
- Whitney JA. and Evans, F (2010) *Abbreviations for names of rock-forming minerals.* American Mineralogist, 95: 185-187.
- Wilson, M (1993) *Igneous Petrogenesis, a global tectonic approach.* Chapman and Hall, 466p.
- Winter, J (2010) *An introduction to igneous and metamorphic petrology.* Pearson Prentice Hall, 702p.
- Andes. Earth and Planetary Science Letters, 154:153-166.
- Delaloye M. and Desmons, J (1980) *Ophiolites and mélange terranes in Iran: A geochronological study and its paleotectonic implications.* Tectonophysics, 68: 83-11.
- Delavari, M (2013) *Different geodynamic settings for Sistan suture zone ophiolitic units: discussion of textural evidences and mineral chemistry of crustal sequence ultramafic-mafic associations.* Petrology, 4:39-58.
- Fittion, GJ. James, D., and Leeman, WP (1991) *Basic magmatism associated with late Cenozoic in the western United State, compositional variations in space and Time.* Journal Geophysical Research, 4: 96-86.
- Hafman, AW (1988) *Chemical differentiation of the earth the relationship between mantle, continental crust and oceanic crust.* Earth and Planetary Science Letters, 16: 90-68.
- Hafman, AW (2003) *Sampling mantle heterogeneity through oceanic basalts: isotopes and trace elements.* In: RW Carlson, Ed. Elsevier- Pergamon, Oxford, 42: 61-101.
- Le Bas, MJ., Le Maiter, RW., Streckeisen, A. and Zanetti, B (1986) *A chemical classification of volcanic rocks based on the total alkali-silica diagram.* Journal of Petrology, 27: 745-750.
- Martin, H (1993) *The mechanism of petrogenesis of the Archean continental crust comparison with modern processes.* Lithos, 30: 373-388.
- Middlemost, E. A. K (1994) *Naming materials in the magma/igneous rock system.* Earth Science, 37: 215-224.
- Niu, Y (2004) *Bulk- rock major and trace element composition of abyssal peridotites, implications for mantle melting, melt extraction and post-melting processes beneath Mid-Ocean Ridges.* Journal of Petrology, 45: 2423-2458.
- Odinga, M., Lloyd, B., Squire, P., Griffiths, and Cormic, P. M (1978) *Geological Quadrangle map of Naranow 1:250000.* Geological Survey of Iran.
- Paulick, H., Bach, W., Godard, M., Hoog, C. J., Suhr, G., and Harvey, J (2006) *Geochemistry of abyssal peridotites (Mid-Atlantic Ridge, 15°20'N, ODP Leg 209): Implications for fluid/rock interaction in slow spreading environments.* Chemical Geology, 234: 179-210.
- Pearce, JA (1981) *Statically analysis of major element patterns in basalt.* Journal of Petrology, 17: 15-43.
- Saccani E., Delavari M., Beccaluva L. and Amini S (2010) *Petrological and geochemical constraints on the origin of the Nehbandan ophiolitic complex (eastern Iran): Implication for the evolution of the Sistan Ocean.* Lithos, 117: 209-228.

Petrology and geochemistry of Tahlab ophiolite, northeastern Taftan volcano

H. Biabangard^{*1}, M. Boomeri² and P. rigi³

1, 2, 3- Dept., of Geology, Faculty of sciences, University of Sistan and Baluchestan, Zahedan

* h.biabangard@science.usb.ac.ir

Recieved: 2020/3/6 Accepted: 2020/5/20

Abstract

Tahlab ophiolite is located at the Southeastern of Taftan volcano and the Sistan suture zone. This ophiolite (Upper Cretaceous) exposed in the Flysch zone (Eocene). Harzburgites and gabbro's rocks are main part of this ophiolite that studied in this article. Ultramafic rocks have olivine and pyroxene minerals. Mafic rocks have plagioclase, pyroxene and olivine minerals. Serpentine and chlorite have secondary minerals. They are dominant granular, ophitic and sub-ophitic textures. All of REE elements in spider diagrams compared to enrichment mantle have low depletion in HREE and low enrichment to LREE, relatively flat slope, and more similar to E-MORB. Transition elements diagrams (V, Co, Cr, Ni) in against to La / Ce ratio show that differentiation of olivine mineral. High Mg number in the samples (42.91 to 86.02) shows that magma resulted from partial melting from mantle. Also (La/Sm)_N in the samples are between 1.37 to 0.34 that show they are mantle source. Tectonomagmatic diagrams shows Tahlab ophiolite has belonging to extensional oceanic intraplate, so it seems this ophiolite formed by subduction of Neothynean oceanic during Cretaceous between Lut and Afghan blocks.

Keywords: *Tahlab ophiolite, tholeiite, subduction, Sistan suture zone, Taftan*